

液体克尔常数的测量

凌德洪 朱亚一 冷永章

(苏州大学激光研究室)

克尔效应是介质在电场作用下产生的双折射现象，各种克尔盒已在电光调制方面得到广泛的应用。因此，精确测量各种介质的克尔常数具有一定的意义。

提高介质克尔常数实验测量准确度的一种途径，是提高外加电压，从而增大感生双折射引起的位相差。但大多数样品在强场下容易击穿，因而不宜加很高的电压。本文采用双光路光度法和检偏振法，在不太高的电压下，提高了实验测量的准确度，并对液体样品硝基苯的克尔常数进行了测量，两种方法测得的结果较好地吻合，并与公认值一致。

一、实验基本原理

在一级近似下，克尔效应是外加电场的二次函数，因此介质的克尔常数 K 可以由下式定义：

$$\Delta n = K \lambda E^2, \quad (1)$$

式中 $\Delta n = n_s - n_\perp$, n_s , n_\perp 分别表示介质在入射光波长为 λ 时，电矢量平行和垂直于外电场的偏振光的折射率， E 为外电场的强度。

当一束一定偏振方向的激光束进入克尔盒后，相对于样品的光学主轴，入射光可分解为两束线偏振光，一束光的电矢量沿着外加电场方向（样品的光学主轴沿外电场方向取向），另一束光的电矢量与外电场垂直。由于样品在电场下的双折射效应，对应于两束线偏振光的折射率之差由(1)式表示。这两束线偏振光通过克尔盒后产生的光程差为

$$\Delta = \Delta n l = K \lambda E^2 l, \quad (2)$$

式中 l 为克尔盒的有效长度。若平板间距和外加电压分别为 d 和 V ，对应的位相差则为

$$\delta = 2\pi(\Delta/\lambda) = 2\pi K l V^2 / d^2. \quad (3)$$

如果检偏器和起偏器正交，而且其透光方向与外加电场方向成 45° 角（图 1, 2），则由偏振光的干涉理论^[1]，不难导出透射光的相对强度为

$$I/I_0 = \sin^2(\delta/2) \\ = \sin^2(\pi K l V^2 / d^2). \quad (4)$$

测定了参考光和透射光的光强比值，即可由公式(4)定出 K 。

另一方面，从克尔盒出射的光为椭圆偏振的，若直接采用一检偏器进行检测，将得不到准确的消光方向。

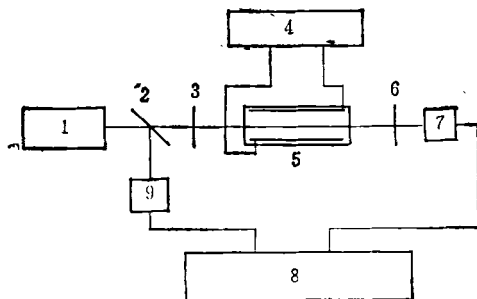


图 1 双光路光度法实验装置
1. He-Ne 激光器； 2. 分束板； 3. 起偏器；
4. 高压电源； 5. 克尔盒； 6. 检偏器； 7. 光电池 2；
8. I_s/I_i 复用光强比率直读仪； 9. 光电池 1

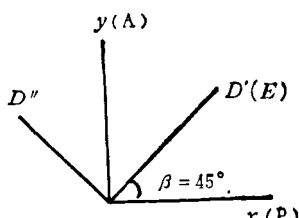


图 2 起偏器 P, 检偏器 A, 样品光轴 $D'(E)$ 及 D'' 的相对取向

本实验通过在检偏器前加入一个 $\lambda/4$ 波片，可得到准确的消光方向，实验光路如图 3 所示。现在借助 Jones 矩阵理论进行分析^[2]。

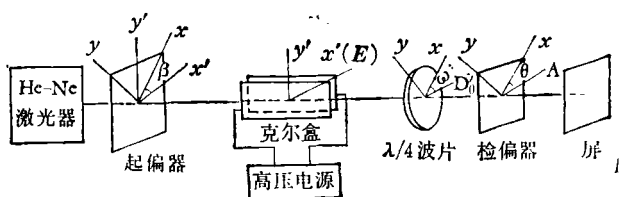


图 3 光的偏振状态检测装置示意图

用 M 表示克尔盒的 Jones 矩阵^[3]，

$M =$

$$\begin{pmatrix} \exp\left(i \frac{\delta}{2}\right) \cos^2 \beta & 2i \sin\left(\frac{\delta}{2}\right) \sin \beta \cos \beta \\ + \exp\left(-i \frac{\delta}{2}\right) \sin^2 \beta & \exp\left(-i \frac{\delta}{2}\right) \cos^2 \beta \\ . & 2i \sin\left(\frac{\delta}{2}\right) \sin \beta \cos \beta \\ & + \exp\left(i \frac{\delta}{2}\right) \sin^2 \beta \end{pmatrix}, \quad (5)$$

式中 δ 为克尔盒的相位延迟量, β 为克尔盒快轴方向与 z 轴的夹角。引入克尔盒出射光参量 k , 它定义为

$$k = \frac{E_x}{E_y}. \quad (6)$$

参量 k 为一复数比值, 它包含光的偏振状态的全部信息。简单的计算可以导出

$$M = i(|k|^2 + 1)^{1/2} \begin{pmatrix} k & 1 \\ 1 & -k^* \end{pmatrix}. \quad (7)$$

比较(5)式和(7)式, 可以得到

$$\sin\left(\frac{\delta}{2}\right) = (\sin 2\beta)^{-1} (|k|^2 + 1)^{-1/2}. \quad (8)$$

若 $\lambda/4$ 波片和检偏器相对于 x 轴分别以夹角 ω 和夹角 θ 取向后, 在屏上得到一零光强暗斑, 由 Jones 矩阵理论可导出如下关系:

$$\delta = 2 \sin^{-1} \times \left\{ (\sin 2\beta)^{-1} \left(\frac{1 - \cos 2(\omega - \theta) \cos 2\omega}{2} \right)^{1/2} \right\}. \quad (9)$$

选择适当的 β , 实验测定 ω 和 θ 后, 便可由(9)式和(3)式算出克尔盒的相位延迟量 δ 以及液体的克尔常数 K 。

二、实验结果及其讨论

1. 双光路光度法

本实验借助本校研制的光强比率直读仪, 采用双光路光度法, 从而消去了激光光强波动的影响。实验光路如图 1 所示。

光强比率直读仪具有暗电流补偿和归一化测量功能, 读数直接与 $\sin^2(\delta/2)$ 相联系, 测量的结果由四位数字显示。在已知外加电压 V , 板间距 d , 克尔盒有效

长度 l 和入射激光波长 λ_0 的情况下, 便可准确地求出液体样品的克尔常数。测出硝基苯液体克尔常数的平均值 $\bar{K} = 2.23 \times 10^{-12} (\text{m/V}^2)$ 。

2. 检偏振法

实验选择入射激光偏振方向与克尔盒外加电场方向的夹角 β 为 45° 。由于检偏振法仅与光束的偏振参量 k 有关, 由 k 的实义可知, 实验结果与入射光强无关。检偏振法也消去了激光光强波动的影响。固定起偏器和外加电场的取向, 在 $V = 0$ 的起始位置, 通过选择 $\lambda/4$ 波片和检偏器的取向, 在屏上得到一零光强的暗斑。外加一定电压 V 后, 旋转 $\lambda/4$ 波片和检偏器, 重新在屏上得到一零光强暗斑。对应于同一电压, 在相同实验条件下读出一组 ω 和 θ 数据对, 求出平均值。对应于不同电压作相应测量。然后由(9), (3)式计算出相位延迟 δ 和克尔常数 K 。

由于加入一 $\lambda/4$ 波片, 可在屏上得到一对应于零光强的暗斑。实验中利用目视检零, 角度误差小于 $20'$, 大大提高了实验精度, 测量值偏差小。测出的硝基苯的 \bar{K} 值为 $2.22 \times 10^{-12} (\text{m/V}^2)$ 。

根据克尔效应的理论^[4], 样品的克尔常数与入射光波长有关。本实验采用 He-Ne 激光作为光源, 测量了硝基苯的克尔常数, 其值为 $2.23 \times 10^{-12} (\text{m/V}^2)$, 而文献 [5] 给出用钠黄线测得的硝基苯的克尔常数为 $2.44 \times 10^{-12} (\text{m/V}^2)$ 。考虑到波长的差异和由此产生的折射率的差异, 经过计算可以得到, 本实验结果与文献上的公认值基本一致。

参考文献

- [1] Max Born and Emil Wolf, Principle of Optics, Pergamon Press, (1983), 694.
- [2] Stewart R. M. Robertson, *Appl. Opt.*, 22(1983), 2213.
- [3] R. M. A. Azzam and N. M. Bashara, Ellipsometry and Polarized Light, North-Holland Publishing Company, (1977), chap. 1.
- [4] Max. Born, Optik, published and distributed in the public Interest by Authority of the Alien property Custodian under License No. A-100, (1943), § 80.
- [5] F. A. Jenkins, H. E. White, Fundamentals of Optics, McGraw-Hill, Inc. (1976), 695.